

九州大学 正員 植東一郎

佐賀大学 正員 渡辺訓甫

九州大学 学生員 ○正木清嗣

移動床流れにおいては、水理条件や底質に応じて種々の河床形態が発生し、流れの粗度や流砂量に大きな影響を及ぼす。本文は1波長間の流れが加速・減速の繰返しであることによる剪断応力の変化と、流砂の非平衡性とを考慮した著者らの安定理論に基づいて、河床形態とそのScaleについて、表-1及びGilbertらの実験資料を整理し、水理量と底質の関数で表わしたものである。

1. 河床形態の区分：河床高を $\frac{y}{h} = \frac{y_1}{h} e^{y_1 T + i(y_1 T + 3\delta)}$ とおき、 y_1 及び波速 $\frac{y_1}{\beta}$ はそれぞれ次式となる。

$$y_1 = \frac{\beta^2 \cdot \frac{3}{2} \frac{4^{\frac{1}{2}}}{4 - 4c}}{(\beta^2 E^2 + 1)(1 - F^2)} \left\{ 8a - E(2 + 2\alpha) \right\} \quad (1)$$

$$-\frac{y_1}{\beta} = \frac{\frac{3}{2} \frac{4^{\frac{1}{2}}}{4 - 4c}}{(\beta^2 E^2 + 1)(1 - F^2)} \left\{ 8a - E(2 + 2\alpha) \right\} \quad (2)$$

$\alpha = 0$ なる条件から、実験資料を掃流力の無次元表示と h/d とで区分すると図-1のようである。

flat → Anti-dune への境界は明らかでないが、一方の区分が得られており、図中の実線はそれぞれ

$$\frac{h}{d} = \frac{1}{2}(7.66^2 \cdot S)^{\frac{1}{2}} \cdot \gamma^{\frac{1}{2}}, \frac{h}{d} = \lambda, \frac{2+2\alpha}{8a} \left(1 + \frac{\Phi_0}{A_0} \right) \quad (3)$$

である。こゝに、Sは砂の水中比重、 $\gamma_0 = g_B / (sgd^3)$ は流砂量の無次元表示である。

2. 河床波のscale：波高 Dune型の河床波を、波高△、波長λの三角波で近似し、それが形を変えずに進行速度△λで伝播するとすれば、1波長間の平均の流砂量 \bar{q}_B は $\bar{q}_B = (1 - \varepsilon) 4a \cdot \frac{\Delta}{2}$ (ε :空隙率) で表わされる。今、波速と(2)式を用いると、波高△が次式で表示される。

$$\frac{\Delta}{h} \frac{\frac{3}{2} \frac{4^{\frac{1}{2}}}{4 - 4c}}{1 - F^2} = \frac{2(\beta^2 E^2 + 1)}{\beta^2 E 8a + (2+2\alpha)} \quad (4)$$

Dune 及び Ripple の実験値について上の関係を調べると、散らばりは大きいが平均的にはほど満足されおり、特に Dune については(4)式がうまく適合している。(図-2) なお、(4)式の右辺は殆んど

記号	実験者	d_{50} (mm)	記号	実験者	d_{50} (mm)
○	土木研究所	0.8 ~ 10	◆	槽(聖川)	1.1 ~ 1.4
●	田中	0.73	◇	“(人工河谷)	1.3 ~ 2.2
●	Vanoni	0.14 ~ 0.23	◆	“(実験川)	0.33 ~ 0.84
●	Kennedy	0.23 ~ 0.93	●	Larsen	1.1
☒	白砂	0.8	○	Straub	0.69
●	Simons	0.45	☒	Ackers	0.16
◊	Gilbert	0.305 ~ 3.17			

表-1

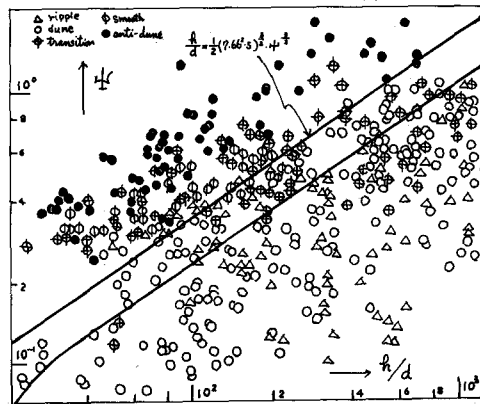


図-1

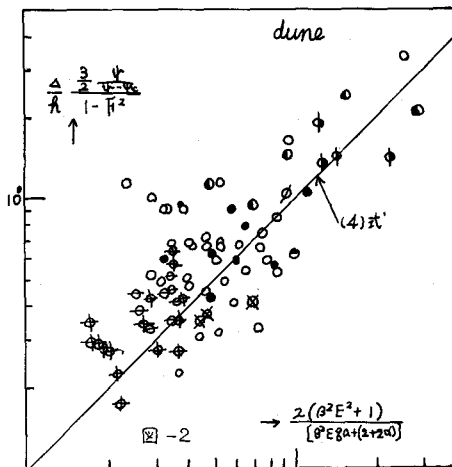


図-2

$E = \lambda \frac{d}{h} (1 + \frac{\Phi_0}{A_*})$ に比例し、限界掃流力附近を除けば ($\Psi_e \gg \Psi_c$)、 E を $\Psi_e I$ で近似すると次式が成立する。

$$\frac{\Delta}{h} \frac{\frac{3}{2} \frac{\Psi}{\Psi_c - \Psi_c}}{1 - F^2} \left(\frac{\Psi_0}{\Psi} \right) = 4.24 \times 10^3 \Psi_e I \quad (5)$$

こゝに、 Ψ_e は有効掃流力の無次元表示で $\Psi_e = \Psi \cdot \frac{\Psi_0}{\Psi_0}$ 、 $\Psi_0 = 6.0 + 5.75 \log \frac{h}{d}$ 、 $S = 1.65$ である。Dune の波高について (5) 式の関係を調べると図-3 のようであり、波高が $\Psi_e I$ で規定されていることがわかる。

波長 Dune の波長入は前報に示したように、ばらつきが大きいが、勾配 I に関係するとして、平均的には

$$\lambda/h = 2.5 \times 10^3 I \quad (6)$$

と表わされる。Ripple については、図-4 に示すように、 λ/d が Ψ_e に対して良くまとまり、図中の実線 $\lambda/d = 1.6 \times 10^3 \Psi_e^{0.96}$

で表わされる。

波形勾配 Dune については Δ/h 、 Δ/d の表示が与えられるので、(5) 及び (6) 式より、

$$\frac{\Delta}{h} \frac{\frac{3}{2} \frac{\Psi}{\Psi_c - \Psi_c}}{1 - F^2} \left(\frac{\Psi_0}{\Psi} \right) = 1.7 \Psi_e \quad (7)$$

である。又、Ripple についても Dune と同じ式形を考えて実験値を整理すると、図-5 のようになり、平均的には次式で表わされる。

$$\frac{\Delta}{h} \frac{\frac{3}{2} \frac{\Psi}{\Psi_c - \Psi_c}}{1 - F^2} = 0.6 \Psi_e^{0.66} \quad (8)$$

従って Ripple の場合は逆に今入と λ/d から波高の式が得られる。即ち、(7)、(8) 式より、

$$\frac{\Delta}{h} \frac{\frac{3}{2} \frac{\Psi}{\Psi_c - \Psi_c}}{1 - F^2} = 984 \Psi_e \quad (9)$$

となり、波高は Ψ_e に比例する。上式を実験値と比較したのが図-6 である。

以上安定理論から一応河床形態の区分と、Dune 及び Ripple についてその Scale の予測ができるが、抵抗や有効掃流力の評価にはお詫びが残されており、今後の課題したい。

